

## ارائه رابطه ضریب نفوذ مؤثر بخار در خشک شدن انجامدی ژلاتین متخلخل با استفاده از شبیه‌سازی CFD

مریم حسن قاجار، سید حسن هاشم‌آبادی\*

تهران، دانشگاه علم و صنعت ایران، دانشکده مهندسی شیمی، آزمایشگاه تحقیقاتی دینامیک سیالات محاسباتی (CFD)

پیامنگار: [Hashemabadi@iust.ac.ir](mailto:Hashemabadi@iust.ac.ir)

### چکیده

در خشک شدن انجامدی مواد متخلخل، پیش‌بینی ضرایب نفوذ نسبتاً مشکل، و تنها به صورت تجربی، قابل دستیابی است. با ارائه رابطه‌ای جهت تعیین ضریب نفوذ مؤثر بخار، می‌توان نرخ خشک شدن محیط‌های متخلخل را با توجه به میزان تخلخل آنها در فرایندهای انجامدی پیش‌بینی کرد، همچنین استفاده از معادلات به دست آمده در این زمینه در کاهش وقت و هزینه آزمایش، مؤثر است. در این مطالعه با توجه به نوعی ایده آل سازی هندسی از ساختار محیط متخلخل، پدیده نفوذ و انتقال جرم بخار در فرایند خشک شدن انجامدی پلیمر ژلاتین با استفاده از اطلاعات آزمایشگاهی و حل معادلات پیوستگی، تکانه، جرم و انرژی و شرایط مرزی مناسب، در جریان آرام و دو فازی مایع-بخار در شرایط عملیاتی مختلف، شبیه‌سازی شده است. در نهایت، رابطه‌ای جهت تعیین ضریب نفوذ پذیری بخار در فرایند خشک شدن انجامدی هیدروزیل متخلخل، با توجه به میزان تخلخل، اثر اندازه حفرات و رطوبت ارائه شده که نتایج مدل با روابط مدل‌های تجربی، تطابق مناسبی نشان می‌دهند.

کلمات کلیدی: ضریب نفوذ مؤثر، نفوذ پیوسته، خشک شدن انجامدی، شبیه‌سازی CFD

می‌شود که تاثیر شکل و اندازه حفرات به نوعی در آن لحاظ شده و به صورت تجربی به دست می‌آید. با ارائه رابطه‌ای جهت تخمین ضریب نفوذ مؤثر بخار و بررسی عوامل تاثیرگذار بر افزایش ضریب نفوذ، می‌توان نرخ خشک شدن در فرایند انجامدی را تخمین زد. بررسی چگونگی رفتار خشک شدن انجامدی و به دست آوردن پارامترهای اساسی در این روش، جهت کنترل فرایند و بهبود کیفیت مواد، حائز اهمیت است و ضریب نفوذ مؤثر به عنوان یکی از پارامترهایی که مقدار آن بستگی به شرایط فیزیکی دارد، تمام مکانیسم‌های ممکن در انتقال رطوبت را که شامل نفوذ مایع، نفوذ

### ۱- مقدمه

نفوذ از میان اجسام متخلخل، از مباحث مهم انتقال جرم در جامدات به شمار می‌رود که نیاز به بررسی جداگانه و خاص دارد، زیرا ساختمان جامدات متخلخل و نحوه تماس آنها با سیال نفوذ کننده، بر چگونگی نفوذ و انتقال جرم، مؤثر است. در مواد متخلخل، حرکت بخار می‌تواند در اثر نفوذ مولکولی به دلیل گرادیان غلظت یا حرکت هیدرودینامیکی به لحاظ اختلاف فشار بین دو نقطه، صورت گیرد، به هر حال در بسیاری از مواقع، مقدار واقعی نفوذ از مقدار نظری کمتر است، لذا به جای ضریب نفوذ از ضریب نفوذ مؤثر استفاده

کندانس بخار و تبخیر رطوبت تخمین زده شود، در این مدل، هر دو فاز به صورت پیوسته در نظر گرفته می‌شوند و معادله پیوستگی برای مخلوط و تکانه برای هر فاز حل شده و معادله کسر حجمی، تنها برای فاز پراکنده (مایع) حل می‌شود.

معادله پیوستگی برای مخلوط:

$$\frac{\partial}{\partial t}(\rho_m) + \nabla \cdot (\rho_m v_m) = \sum_{p=1, p \neq k}^2 \dot{m}_{pk} = R_e - R_c \quad (1)$$

جمله  $\dot{m}_{pk}$  مبین نرخ انتقال جرم بین فازهاست که با استفاده از مدل کاویتاسیون تعیین می‌شود. جرم حجمی و گرانزوی مخلوط به صورت زیر محاسبه می‌گردد:

$$\mu_m = \sum_{k=1}^2 \alpha_k \mu_k \quad \text{و} \quad \rho_m = \sum_{k=1}^2 \alpha_k \rho_k \quad (2)$$

معادله انتقال جرم بخار در مدل کاویتاسیون:

$$\frac{\partial}{\partial t}(\rho \alpha_v) + \nabla \cdot (\rho V_v \alpha_v) = \nabla \cdot (J_v) + R_e - R_c \quad (3)$$

طبق این مدل که در نرم افزار استفاده شده است، اگر فشار محفظه خشک کن بیشتر از فشار اشباع باشد، نرخ میان بخار از رابطه زیر محاسبه می‌شود:

$$R_C = C_e \frac{V_v}{\sigma} \rho_l \rho_v \sqrt{\frac{2(P - P^{sat})}{3\rho_l}} \alpha_v \quad (4)$$

و اگر فشار سیستم کمتر از فشار اشباع باشد، نرخ تبخیر رطوبت به کمک رابطه زیر محاسبه می‌گردد:

$$R_e = C_e \frac{V_v}{\sigma} \rho_l \rho_v \sqrt{\frac{2(P_{sat} - P)}{3\rho_l}} (1 - \alpha_v) \quad (5)$$

در رابطه بالا  $C_e = 0.01$  و  $C_e = 0.02$  ثابت‌های عددی،  $\sigma$  کشش سطحی،  $\alpha_v$  کسر حجمی و  $J_v$  شار انتقال جرم بخار می‌باشند.

بخار و جریانهای مؤینگی و هیدرودینامیکی است توصیف می‌کند. در این مطالعه با استفاده از دیدگاه مدل مخلوط<sup>۱</sup> در جریان دو فازی (مایع-بخار) و حل معادلات حاکم و اعمال شرایط مرزی مناسب برای ساختار هندسی مشخص از نمونه متخلخل، نفوذ بخار همراه با میان آن در خشک شدن انجام‌دادی ماده متخلخل با نوعی ایده‌آل‌سازی هندسی، شبیه‌سازی شده و در نهایت، بر اساس نفوذ فیک در اثر گرادیان رطوبت و فشار، ضریب نفوذ بخار به دست آمده و اثر اندازه حفرات و تخلخل ماده و میزان رطوبت در ضریب نفوذ مؤثر بررسی شده است.

## ۲- مرور مدل‌های ارائه شده

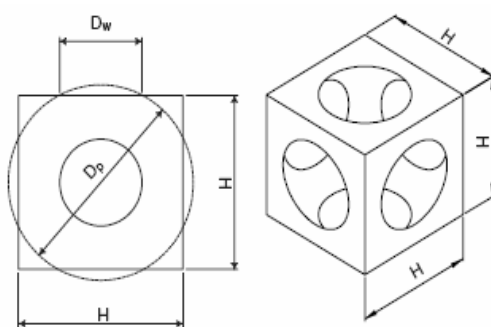
در اکثر روابطی که تاکنون جهت تعیین ضریب نفوذ مؤثر در محیط متخلخل مرتبط ارائه شده، تابعیت ضریب نفوذ با تخلخل و میزان اشباع رطوبت به صورت‌های مختلف در نظر گرفته می‌شوند<sup>[۱]</sup>. در محیط‌های متخلخل که در آنها جریان آزاد مولکولی برقرار می‌باشد، ضریب نفوذ بخار بر مبنای مقاومت برخورد مولکول با دیواره محیط متخلخل و نظریه نادسن در نظر گرفته شده است<sup>[۲]</sup>. در مطالعات آزمایشگاهی انجام شده با رسم منحنی خشک شدن، تابعیت ضریب نفوذ با غلظت رطوبت، توسط روابط تجربی ارائه شده است<sup>[۳]</sup>. همین‌طور، در مطالعاتی که به کمک روش‌های NMR انجام شده است، با استفاده از اطلاعات آزمایشگاهی و قانون نفوذ فیک، ضریب نفوذ در محیط متخلخل، متناسب با میزان رطوبت و تخلخل ماده گزارش می‌شود و در شبیه‌سازی‌های عددی که فرایند میان بخار همراه با پدیده‌های انتقال جرم و گرما در محیط متخلخل بررسی شده‌اند رابطه ضریب نفوذ مؤثر بخار بر اساس تخلخل و رطوبت ماده متخلخل در نظر گرفته می‌شود<sup>[۴]</sup> و تاکنون رابطه‌ای که ضریب نفوذ مؤثر بخار را در خشک شدن انجام‌دادی پلیمر متخلخل ژلاتین تخمین بزند ارائه نشده است.

## ۳- معادلات حاکم

برای جریان دو فازی (مایع-بخار) از دیدگاه مدل مخلوط، در جریان‌های چند فازی استفاده شده است. در این دیدگاه برای در نظر گرفتن تغییر فاز از مدل کاویتاسیون<sup>۲</sup> استفاده می‌شود تا میزان

1. Mixture Model  
2. Cavitation Model

تخمین رفتار سیال در محیط پیوسته، تطابق خوبی با نتایج تجربی نشان داده است [۶,۷]. در این شبیه‌سازی نیز برای در نظر گرفتن اثر نیروهای موئینگی و جريان لغزشی، تنش اعمال شده در دیواره منافذ میکرونی با توجه به کشش سطحی که در اثر گرادیان دما در محیط متخلخل ایجاد می‌شود، با استفاده از شرط مرزی تنش مارنگونی<sup>۵</sup> در نظر گرفته شده است [۸]. برای در نظر گرفتن تاثیر اندازه حفرات، از نوعی ایده‌آل‌سازی هندسی مطابق شکل (۱) استفاده می‌شود [۹].



شکل ۱- نحوه تعیین ابعاد هندسی محیط متخلخل

که در این مدل، تابعیت تخلخل و ابعاد هندسی حفرات در روابط زیر در نظر گرفته شده‌اند:

$$\eta^3 - \frac{3\pi}{(4\epsilon + \pi)}\eta + \frac{4\pi}{3(4\epsilon + \pi)} = 0 \quad \eta = \frac{H}{D_p} \quad (8)$$

با در دست داشتن  $\epsilon$  و قطر حفره ( $D_p$ ) و استفاده از روابط زیر ابعاد کره و مکعب محاسبه می‌شوند:

$$\frac{D_w}{D_p} = \sqrt{1 - \eta^2} \quad (9)$$

جريان بخار در مواد متخلخل، به روش موئینگی و نفوذ رخ می‌دهد. خروج بخار از هر یک از منافذ میکرونی باعث ایجاد نیروهای موئینگی از طریق کشش سطحی می‌شود، نیروهای موئینگی در جهت عمود بر سطح، مولفه‌هایی دارند که نیروی رانش را برای

در معادله تکانه فاز پیوسته (بخار):

$$\begin{aligned} \frac{\partial}{\partial t} (\alpha_v \rho_v V_v) + \nabla \cdot (\alpha_v \rho_v V_v V_v) = \\ -\alpha_v \nabla p + \alpha_v \rho_v g - \nabla \cdot (\alpha_v \tau_v) + F_{vl} \end{aligned} \quad (6)$$

جمله  $F_{vl}$  مربوط به انتقال تکانه بین فازهای بخار و مایع است که به واسطه انتقال جرم بین فازها و اختلاف سرعت حرکت دو فاز ایجاد می‌شود، البته در این شبیه‌سازی به دلیل اینکه فقط حرکت بخار بر اثر نفوذ، مد نظر قرار گرفته است و فاز مایع (رطوبت) ساکن در نظر گرفته می‌شود از این جمله صرفنظر شده است.

معادله انرژی :

$$\begin{aligned} \frac{\partial}{\partial t} \sum_{k=1}^2 (\alpha_k \rho_k E_k) + \nabla \cdot \sum_{k=1}^n (\alpha_k V_k (\rho_k E_k)) = \\ \nabla \cdot (K_{eff} \nabla T) + R_e \Delta H_e - R_c \Delta H_c \end{aligned} \quad (7)$$

گرمای نهان تبخیر و میعان در شرایط خشک کن است.

$$\Delta H_e, \Delta H_c$$

### ۳- شبکه‌بندی دامنه محاسباتی و شرایط مرزی

قسمتی از فضای خشک و متخلخل که با هندسه ایده‌آل‌سازی شده با مش نوع شبکه مثلثی<sup>۱</sup> و فاصله ۱۰ به عنوان دامنه محاسباتی، در نظر گرفته شده است، در شکل (۲) ساختار هندسی محیط میکرونی با شش حفره در مکعب واحد و همچنین شرایط مرزی به کار رفته نشان داده می‌شود. از روش حجم محدود جهت حل معادلات پیوستگی، تکانه و انرژی، با فرمولاسیون ضمنی و روش آپویند<sup>۲</sup> مرتبه دوم استفاده شده و برای وابستگی فشار، سرعت، الگوریتم سیمپل<sup>۳</sup> به کار رفته و از طرح کوئیک<sup>۴</sup> جهت حل معادلات کسر حجمی استفاده شده است.

در اکثر مطالعات انجام شده در محیط‌های میکرونی، استفاده از شرط مرزی لغزشی روی دیواره در حل معادلات ناوبر استوکس برای

1. TGrid
2. Upwind
3. SIMPLE
4. Quick

5. Marangoni Stress

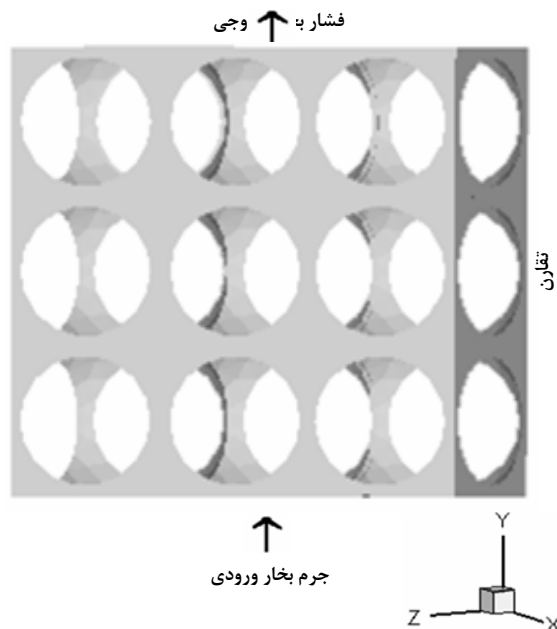
#### ۴- بحث و تجزیه و تحلیل نتایج

جهت تعیین ضریب نفوذ بخار در محیط متخلخل، شار جرمی بخاری که با مکانیسم نفوذ، با دماها و فشارهای متفاوت از نمونه های با تخلخل مختلف در حین خشک شدن انجامدادی، در جریان است با استفاده از شبیه‌سازی به دست آمده و سپس بر مبنای قانون نفوذ فیک، ضریب نفوذ بخار طبق رابطه (۱۰) تخمین زده می‌شود و در نهایت رابطه‌ای که ضریب نفوذ مؤثر بخار را با توجه به اثر اندازه حفرات و میزان رطوبت نشان دهد ارائه شده است.

$$Q_v = -D_v \frac{\Delta C}{L} \quad (10)$$

در جدول (۱) نتایج شبیه‌سازی برای حفرات ۳۵۰، ۱۵۰، ۷۰ میکرومتر در شرایط عملیاتی مختلف خشک کن آزمایشگاهی ارائه شده است.

حرکت بخار از میان منافذ به سمت سطح تمامی می‌کنند. بنابراین لازم است در شبیه سازی نیروهای موئینگی، شرایط مرزی مناسب (تقارن، فشار خروجی، جرم ورودی) در مد نظر قرار گیرند.

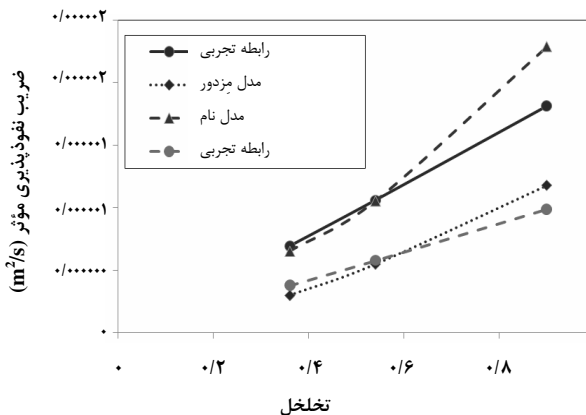


شکل ۲- هندسه ایده‌آل‌سازی شده محیط متخلخل  
با ۹ حفره و شرایط مرزی حاکم

جدول ۱- تاثیر اندازه حفرات در نتایج شبیه‌سازی در دماهای مختلف خشک کن انجامدادی

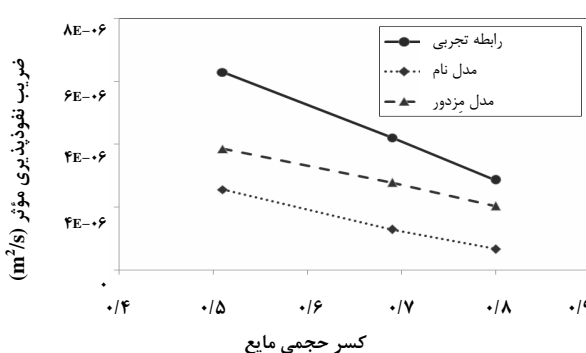
$D_v (m^2/s)$	$\epsilon$	X	$Q_v (kg/s)$	P(mbar)	T(°C)	$D_w (\mu m)$
$3/78 \times 10^{-6}$	$0/36$	0/991	0/0018	75	-25	70
$1/28 \times 10^{-6}$		0/9823	0/00373	6/11	-52	
$9/6 \times 10^{-6}$		0/5	0/147	0/14	-55	
$2/35 \times 10^{-7}$		0/965	0/00684	0/06	-56	
$2/66 \times 10^{-7}$	$0/54$	0/99108	0/005	75	-25	150
$1/05 \times 10^{-5}$		0/982	0/00998	6/11	-52	
$7/04 \times 10^{-6}$		0/51	0/0022	0/14	-55	
$1/56 \times 10^{-6}$		0/965	0/0185	0/06	-56	
$9/1 \times 10^{-5}$	$0/9$	0/99107	0/0108	75	-25	350
$7/56 \times 10^{-4}$		0/98	0/0215	6/11	-52	
$8/24 \times 10^{-4}$		0/95	0/0525	0/14	-55	
$5/022 \times 10^{-4}$		0/96	0/042		-56	

می گیرد و در محیط های با تخلخل بیشتر، مقاومت ناشی از افت فشار در برابر نفوذ بخار کمتر است و ضریب نفوذ مؤثر بخار بیشتر باعث افزایش سرعت خشک شدن خواهد شد.



شکل ۳- تأثیر تخلخل بر ضریب نفوذ مؤثر بخار و مقایسه مدل با دو مدل تجربی [۱۰ و ۱۱]

شکل (۴) تأثیر کسر حجمی مایع را بر ضریب نفوذ مؤثر بخار نشان می دهد، با افزایش میزان رطوبت بر اثر میعان بخار در محیط متخلخل، حفرات میکرونی با مایع مسدود می شوند و با ایجاد مقاومت در برابر حرکت بخار، ضریب نفوذ در این حالت کاهش خواهد یافت. نتایج نشان می دهند که مدل ارائه شده با روابط تجربی موجود نسبتاً تطابق دارد و برای نمونه های با تخلخل کمتر و رطوبت بیشتر، دقیق مدل بیشتر است.



شکل ۴- تأثیر کسر حجمی مایع بر ضریب نفوذ مؤثر بخار و مقایسه مدل با دو مدل تجربی [۱۰ و ۱۱]

در فرایندهای خشک شدن، نرخ انتقال جرم بخار به ضرایب نفوذ وابسته است، با افزایش سرعت نفوذ، نرخ خشک شدن افزایش

همان طور که در جدول (۲) ملاحظه می شود، در مدل های ضریب نفوذ مؤثر بخار که به صورت تجربی به دست آمده اند، جهت تعیین ضریب نفوذ در محیط های متخلخل مرطوب، تابعیت تخلخل و رطوبت، لحاظ شده است [۱۰]

که  $X$  میزان رطوبت،  $\varepsilon$  تخلخل و  $D_0 = 34/5 \times 10^{-9}$  ضریب نفوذ بخار در محیط مرطوب در نظر گرفته می شود.

بر اساس ضریب نفوذ به دست آمده در هریک از شرایط عملیاتی با استفاده از نرم افزار Lab Fit طبق داده های جدول (۱) رابطه زیر جهت تعیین ضریب نفوذ مؤثر بخار ( $D_{eff}$ ) در خشک شدن انجامدادی ژلاین متخلخل بر حسب تخلخل و میزان رطوبت ارائه شده است.

$$D_{eff} = D_0 \varepsilon^{1/05} (1-X)^{0/88} \quad (11)$$

در این رابطه  $X$  کسر حجمی مایع حاصل از میعان بخار در محیط متخلخل در نظر گرفته شده که در اثر میعان بخار افزایش می یابد، بنابراین شرایط عملیاتی دما و فشار خشک کن در مقدار بخار مایع شده تاثیر گذار است. براساس نتایج شبیه سازی و استفاده از نرم افزار Lab Fit در شرایط عملیاتی متفاوت، رابطه زیر جهت تعیین کسر حجمی رطوبت مایع شده بر حسب دما و فشار خشک کن ارائه شده است.

$$X = A + BT + CT^2 \quad (12)$$

$$A = 3/27$$

$$B = -0/0105$$

$$C = 0/52 \times 10^{-8}$$

جهت سنجش اعتبار رابطه ارائه شده، در شکل (۳) مقایسه این مدل با مدل های گذشته به ازای مقادیر متفاوت رطوبت نشان می دهد که رابطه ارائه شده تطابق مناسبی با سایر مدل ها دارد.

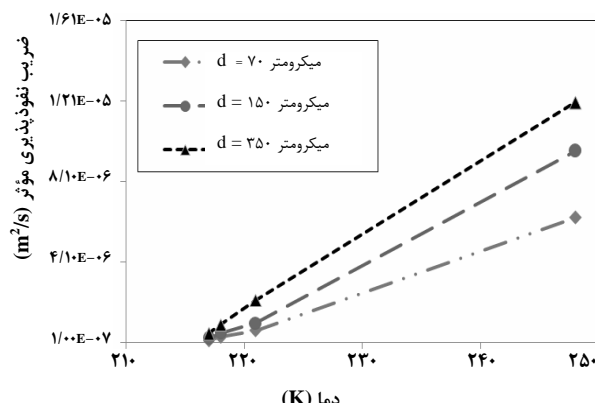
با افزایش میزان تخلخل، ضریب نفوذ مؤثر بخار افزایش می یابد، زیرا در مواد با تخلخل بیشتر، سطح تماس، افزایش، و مقاومت های ناشی از افت فشار در محیط متخلخل شامل مقاومت گرانرو  $\frac{150(1-\varepsilon)^2}{D_p \varepsilon^3}$ ، کاهش می یابد و بنابراین نفوذ بخار راحت تر صورت

حفرات بزرگتر، ضریب نفوذ مؤثر بخار بیشتر است و با کاهش رطوبت، ضریب نفوذ مؤثر بخار کم می‌شود. از آنجا که نرخ خشک شدن به ضریب نفوذ وابسته است، جهت افزایش مدت خشک شدن، لازم است شرایط به نحوی کنترل شود که ضریب نفوذ بخار افزایش یابد زیرا کاهش ضریب نفوذ بخار در محیط متخلخل باعث افزایش مدت اقامت آن در حفرات میکروونی می‌شود و نرخ خشک شدن را کاهش می‌دهد. پس می‌توان نتیجه گرفت در صورتی که در خشک شدن انجامدی هیدروژل‌های متخلخل، مرحله انجامد به آهستگی صورت بگیرد تا مواد با تخلخل بالا ایجاد شوند، ضریب نفوذ مؤثر بخار بیشتر می‌شود و خروج بخار سریع‌تر صورت می‌گیرد و نرخ خشک شدن افزایش می‌یابد.

### مراجع

- [1] M. A. Ruiz-Cabrera, L. Foucat, J.M. Bonny, J.P. Renou, J.D. Daudin, "Assessment of water diffusivity in gelatin gel from moisture profiles, Data processing adapted to material shrinkage", Journal of Food Engineering, Vol. 68, pp: 221-231, (2005).
- [2] O. Geier, S. Vaenkov, J. Karger "Effects of Homogeneity on Kundsen Diffusion in Nanoporous Media", J Chem Phys, Vol. 117, 1935-1938 (2002).
- [3] T. Loulou, B. Adhikari, D. Lecomte, "Estimation of concentration-dependent diffusion coefficient in drying process from the space-averaged concentration versus time with experimental data", Chemical Engineering Science, Vol. 61, pp: 7185-7198, (2006).
- [4] I. Ardelean, G. Farrher, C. Mettea, R. Kimmich, " NMR study of the vapor phase contribution to diffusion in partially filled silica glasses with nanometer and micro pores" Journal of Magnetic Resonance Imaging, Vol. 3, PP: 285-289, (2005).
- [5] Y. Zhang, X. F. Peng, I. Conte, "Heat and Mass transfer with condensation in non-saturated porous media", Numerical Heat transfer, Vol. 52, pp: 1081-1100, (2007).
- [6] O. M. Haddad, M. A. Nimr, "Forced convection gaseous slip flow in circular porous Micro Channel", Transp Porous Med, Vol. 70, pp: 167-179, (2007).
- [7] E. B. Arkilic, M. A. Schmidt, "Gaseous flow in micro channels, application of microfabrication to fluid mechanics", ASME FED, Vol. 197, pp: 57-66, (1997).
- [8] R. B. Bird, W. E. Stewart, E.N. Lightfoot, " Transport Phenomena", Second Edition, John Wiley & Sons, Inc, New York, (2002).

می‌باید و علاوه بر رطوبت و تخلخل جامد، دمای خشک کن نیز به عنوان پارامتر، در ضریب نفوذ مؤثر، و در دماهای بالاتر، این تاثیر، مشهود تر است. شکل (۵) تاثیر افزایش دمای خشک کن را بر ضریب نفوذ مؤثر بخار برای حفرات میکروونی با ابعاد مختلف شبیه سازی شده از محیط متخلخل ژلاتین، نشان می‌دهد. از آنجا که در محیط متخلخل نیروهای موئینگی از اهمیت بیشتری، در مقایسه با نیروهای گرانش و گرانزو برخوردار می‌باشند، علاوه بر اختلاف فشار اشباع بخار و فشار محفظه خشک کن، بخشی از نیروی محرکه لازم برای حرکت بخار در این محیط، گرادیان فشاری است که به خاطر نیروهای موئینگی ایجاد می‌شود. بنابراین در منافذ با قطر بیشتر، به دلیل کاهش مقاومت ناشی از افت فشار، نفوذ بخار آسانتر صورت می‌گیرد. با افزایش دمای محفظه خشک کن، سرعت نفوذ، اضافه می‌شود و باعث کاهش مدت توقف در منافذ محیط متخلخل و در نتیجه کاهش مقدار میزان بخار می‌گردد.



شکل ۵- بررسی تاثیر قطعه‌های دمای ضریب نفوذ مؤثر بخار در خشک شدن انجامدی محیط متخلخل

### ۵- نتیجه‌گیری

با استفاده از روش‌های دینامیک سیالات محاسباتی و اعمال شرایط مرزی مناسب در حل معادلات پیوستگی، تکانه، جرم و حرارت در محیط متخلخل، مدلی جهت تعیین ضریب نفوذ مؤثر بخار در فرایند خشک شدن انجامدی، بر حسب تخلخل و میزان رطوبت ماده ارائه شده است. نتایج مدل در مقایسه با مدل‌های تجربی گذشته تطابق مناسبی نشان می‌دهند، بدین معنی که در محیط متخلخل با

- [9] S. A. Karimian, A. G. Straatman", CFD Study of the hydraulic and thermal behavior of spherical void-phase porous materials", *Journal of Heat and Fluid Flow*, Vol. 29, pp: 292-305, (2007).
- [10] J. Hyun Nam, M. Kaviany, "Effective diffusivity and water-saturation distribution in single and two layer PEMFC medium" *Journal of Heat and Mass Transfer*, Vol. 46, pp: 4595-4611, (2003).
- [11] M. M. Mezedur, M. Kaviany, W. Moore, "Effect of pore structure, randomness and size on effective mass diffusivity", *AIChE J.* 48, pp: 15–24, (2002).
- [12] M. M. Tomadakis, S. V. Sotirchos, "Ordinary and transition regime diffusion in random fiber structures", *AIChE J.* 39, pp: 397-412, (1993).